



*Imágenes: Milton Soria*

## Boletín mensual del Observatorio Magnético de Pilar

Noviembre 2022

### EL OBSERVATORIO

En el Observatorio Geofísico y Meteorológico de Pilar confluyen diferentes disciplinas, Meteorología, Radiación, Ozono, Sismología y Geomagnetismo. Esta última dentro del Observatorio Magnético Pilar. El Observatorio Magnético Pilar comenzó a operar en 1904 y sus registros datan desde entonces. Cuenta con instrumental el cual posee una configuración clásica acorde a la mayoría de los observatorios magnéticos. En noviembre de 2010, el Observatorio se actualizó con la instalación del Sistema INDIGO (Digital Geomagnetic Observatory) para dar inicio a registros digitales. Luego de pruebas y de ajustes del sistema, en septiembre de 2012, el Observatorio fue aceptado como miembro de INTERMAGNET (Red Magnética Internacional en Tiempo Real).

Autores: María Inés Gil, Sabrina Juárez, Juan Carlos Gil, Milton Soria, M. Laura Cariaga, Lucas Merlo.

Coord. Area Geofísica: Geof. Camila Farías.  
[cfarias@smn.gov.ar](mailto:cfarias@smn.gov.ar)

### Información sobre Copyright

Este reporte ha sido producido por empleados del Servicio Meteorológico Nacional con el fin de documentar sus actividades de investigación y desarrollo. El presente trabajo ha tenido cierto nivel de revisión por otros miembros de la institución, pero ninguno de los resultados o juicios expresados aquí presuponen un aval implícito o explícito del Servicio Meteorológico Nacional.

La información aquí presentada puede ser reproducida a condición que la fuente sea adecuadamente citada.

## UBICACIÓN

El Observatorio Magnético se localiza en la ciudad de Pilar, en la Provincia de Córdoba, zona centro de la Argentina. Sus coordenadas corresponden:

- Coordenadas Geográficas: 31°40'00" S 63°53'00" W
- Coordenadas Magnéticas: 20°02'00" S 04°00'00" W
- Altura sobre el nivel del mar: 338 m.

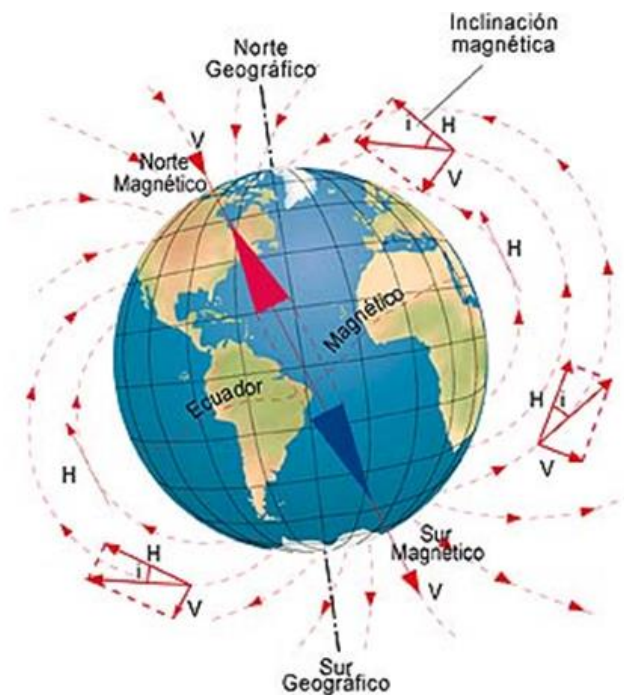


- 1 Oficina del Observatorio
- 2 Casa Lacour o de Variómetro
- 3 Casa Absoluta

Figura 1: Ubicación del observatorio Pilar

### CONCEPTOS TEÓRICOS

El **campo magnético** terrestre se parece al campo de una larga barra magnética o al de una esfera uniformemente magnetizada.



**Figura 2:** Representación gráfica del campo magnético terrestre

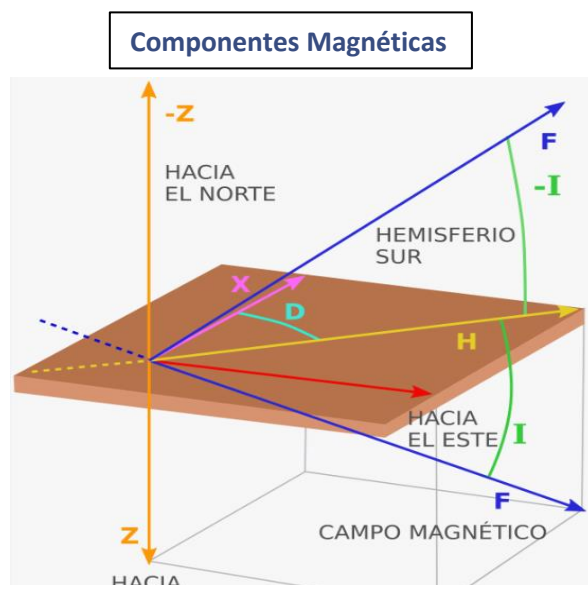
El campo o las líneas de flujo, siguen la trayectoria que muestra la Figura 2. Nótese que la dirección del campo es vertical en los polos magnéticos, y horizontal en el ecuador magnético. El entendimiento de esta geometría es importante para la interpretación de las anomalías magnéticas. La intensidad del campo, es una función de la cantidad de líneas por unidad de área.

La intensidad en la región polar es aproximadamente el **doblo** que en la ecuatorial, oscilando entre las 60.000 y 30.000 gammas o nanoteslas (nT).

Es importante tener en cuenta que el campo Magnético varía tanto en espacio como en tiempo.

### Instrumentos en éste Observatorio.

El Observatorio cuenta con un magnetómetro protónico que registra la intensidad del campo,  $F$ , un magnetómetro triaxial fluxgate para registrar la componente horizontal  $H$ , vertical  $Z$ , y la declinación  $D$ , y un teodolito que permite determinar  $D$  e  $I$  por medio de una observación. En la Figura 3 se presenta un esquema de las componentes del campo magnético enunciadas en este apartado.



**Figura 3:** Componentes del campo magnético

## DESCRIPCIÓN SISTEMA INDIGO

Este sistema proporciona el hardware y el software para operar un Observatorio Magnético Digital básico. El hardware consiste en un magnetómetro triaxial fluxgate, un magnetómetro protónico, un digitalizador, un receptor GPS para proporcionar un tiempo exacto, un registrador de memoria USB y una fuente de alimentación DC alimentada por batería. El software INDIGO WATCH captura los datos del magnetómetro digitalizado, registra en el disco y realiza el análisis de datos básicos.

## OBSERVATORIO MAGNÉTICO OPERATIVO

El Observatorio opera con Geomagnetic Data Acquisition System (GDAS), el mismo fue desarrollado por la British Geological Survey (BGS). El INDIGO Watch registra las variaciones de las componentes del campo magnético, pero no los valores absolutos. El operador supervisa estas variaciones.

Las observaciones absolutas conjuntamente con los datos obtenidos por el Sistema Índigo, se procesan en el software (GDAS), y producen un registro continuo de los **valores absolutos del campo magnético**.

## INTERMAGNET

INTERMAGNET es una red mundial de Observatorios Magnéticos que operan casi en tiempo real. El objetivo de INTERMAGNET es establecer una red global de Observatorios Magnéticos digitales que cooperen, adoptando modernas especificaciones estándar para equipos de medición y registro, con el fin de facilitar el intercambio de datos y la elaboración de productos geomagnéticos en tiempo real.

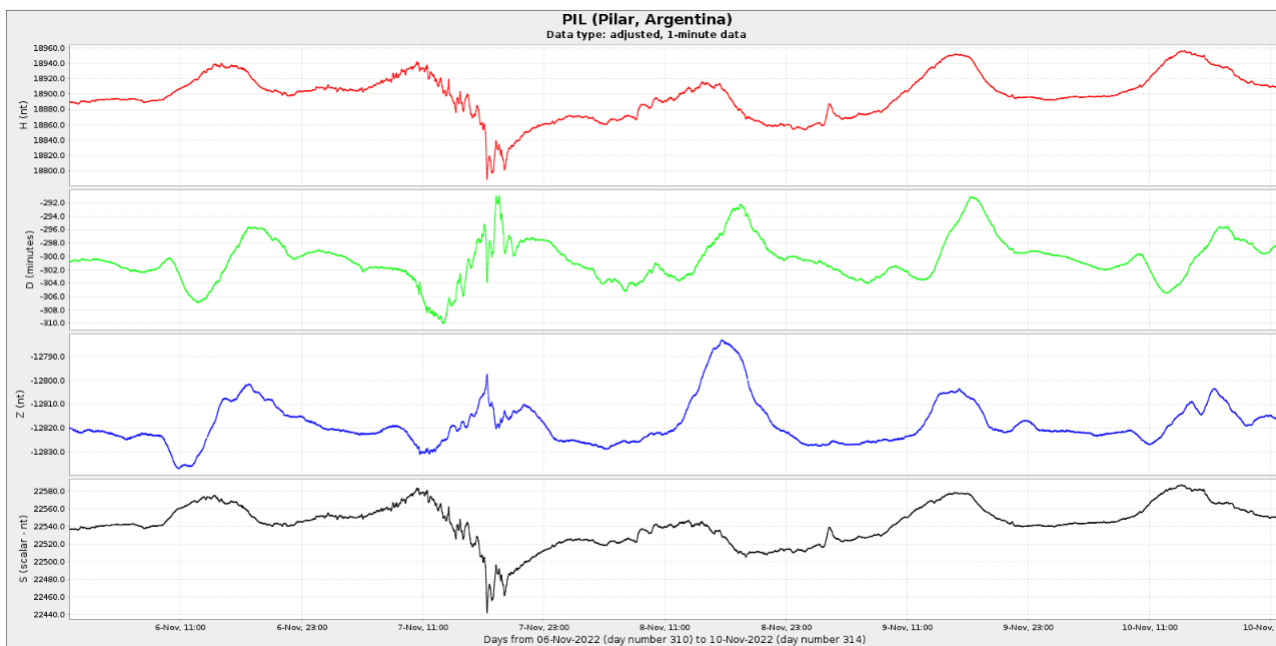
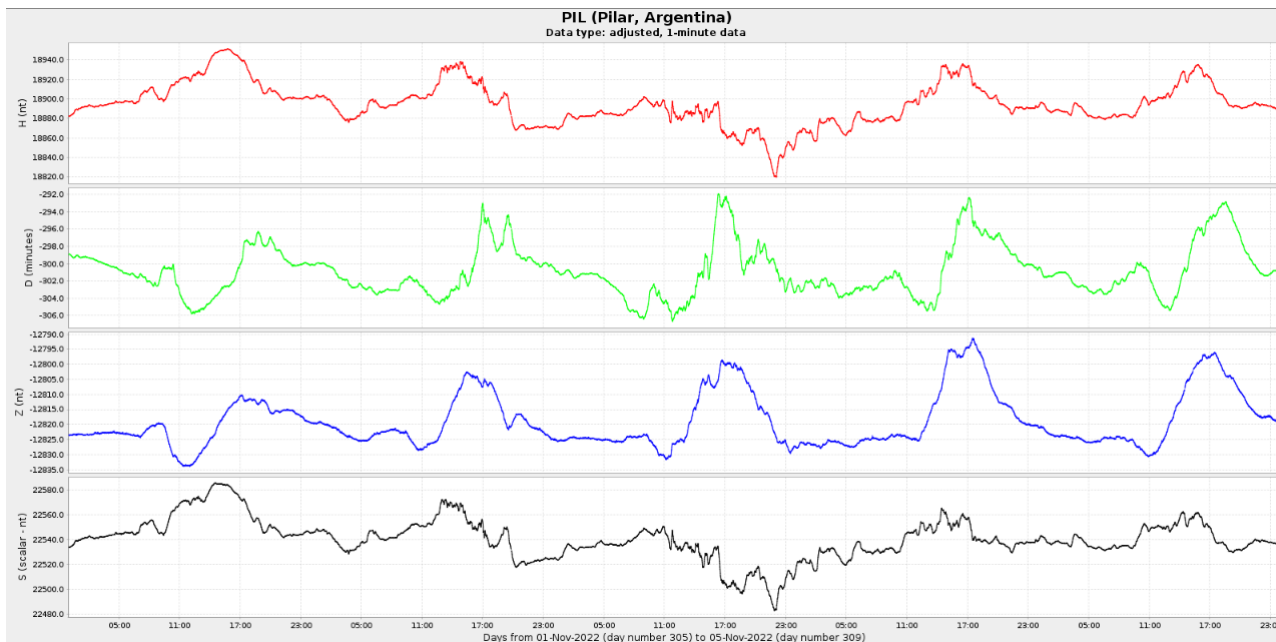
En septiembre de 2012, el Observatorio Magnético Pilar fue aceptado como miembro de INTERMAGNET y las mediciones magnéticas generadas con el Sistema INDIGO en el Observatorio de Pilar, son reportadas diariamente a Edimburgo GIN.

La información se puede visualizar en [https://imag-data.bgs.ac.uk/GIN\\_V1/GINForms2](https://imag-data.bgs.ac.uk/GIN_V1/GINForms2)

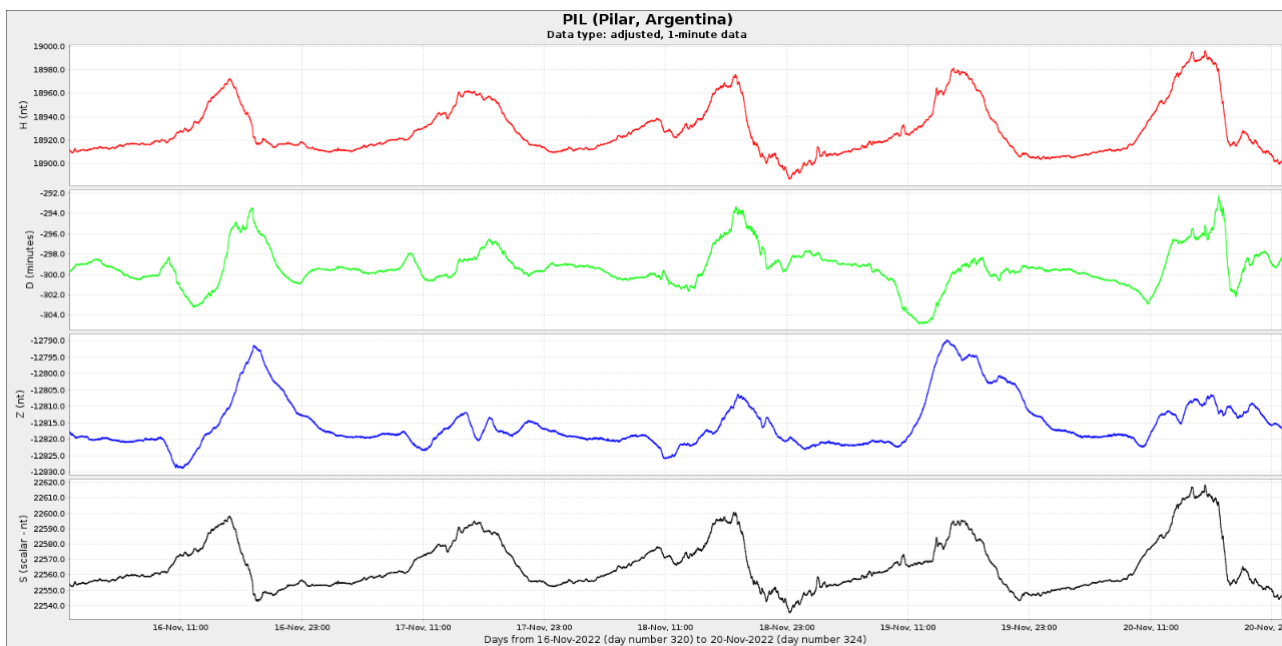
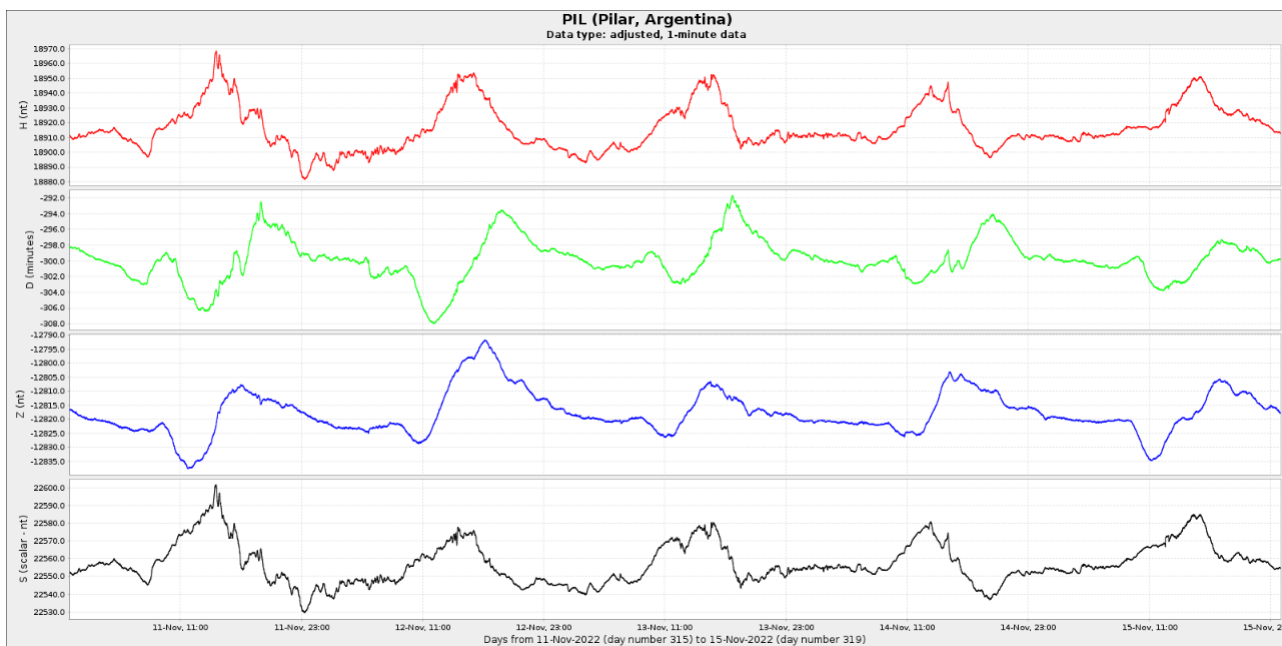
## RED INTERMAGNET

A continuación se presenta la evolución de las componentes del campo magnético para todo el mes de octubre presentadas a la red INTERMAGNET. Los datos que se envían a la red en tiempo casi real y que se muestran en los gráficos siguientes son datos provisionales, esto significa que están sujetos a revisión, no

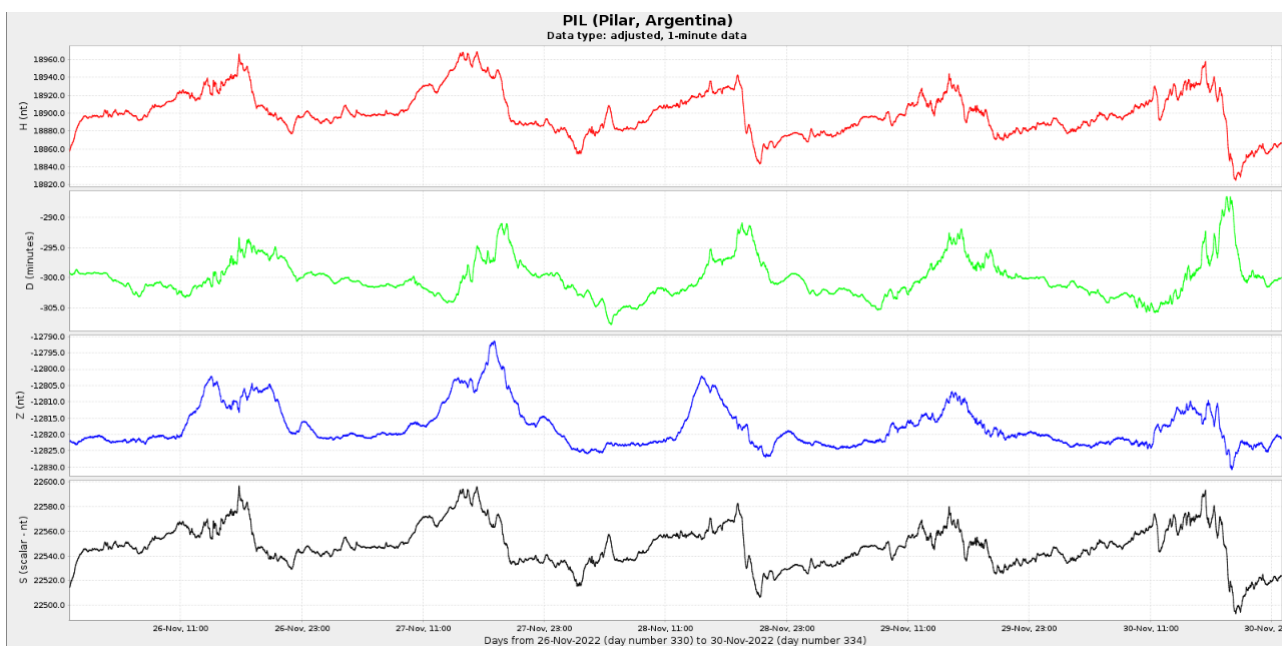
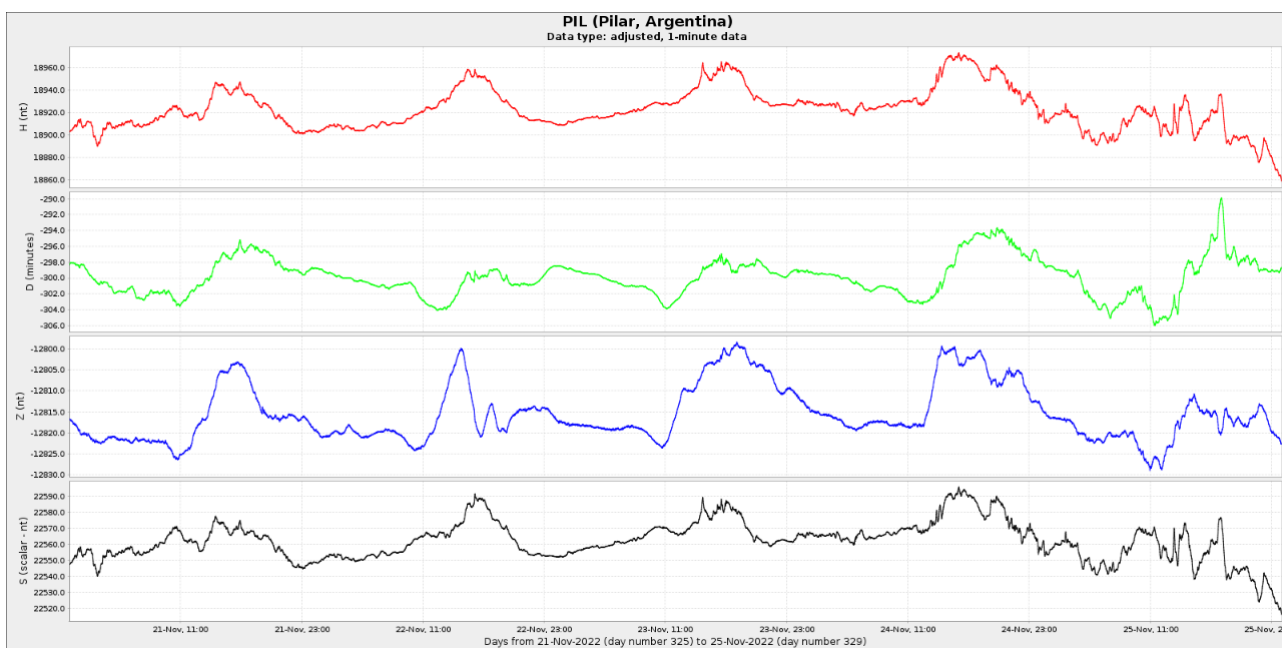
son definitivos y están calculados respecto de una Línea de Base de referencia estimada propia del Observatorio.



**Figura 4a:** Componentes del campo magnético del día 1 al 10 de noviembre. En rojo se ve la componente horizontal (H) y en azul la vertical (Z), ambas en nT. En verde se presenta la declinación del campo magnético (D) en minutos y en negro la intensidad del campo magnético en nT



**Figura 4b:** Componentes del campo magnético del 11 al 20 de noviembre. En rojo se ve la componente horizontal (H) y en azul la vertical (Z), ambas en nT. En verde se presenta la declinación del campo magnético (D) en minutos y en negro la intensidad del campo magnético en nT.



**Figura 4c:** Componentes del campo magnético del 21 al 30 de noviembre. En rojo se ve la componente horizontal (H) y en azul la vertical (Z), ambas en nT. En verde se presenta la declinación del campo magnético (D) en minutos y en negro la intensidad del campo magnético en nT.



**OBSERVACIONES ABSOLUTAS**

A continuación (Figuras 5, 6 y 7) se presenta la evolución temporal durante todo el mes de noviembre de la declinación, la inclinación y la intensidad total del campo magnético a partir de las observaciones absolutas realizadas a las 12, 15 y 18 UTC.

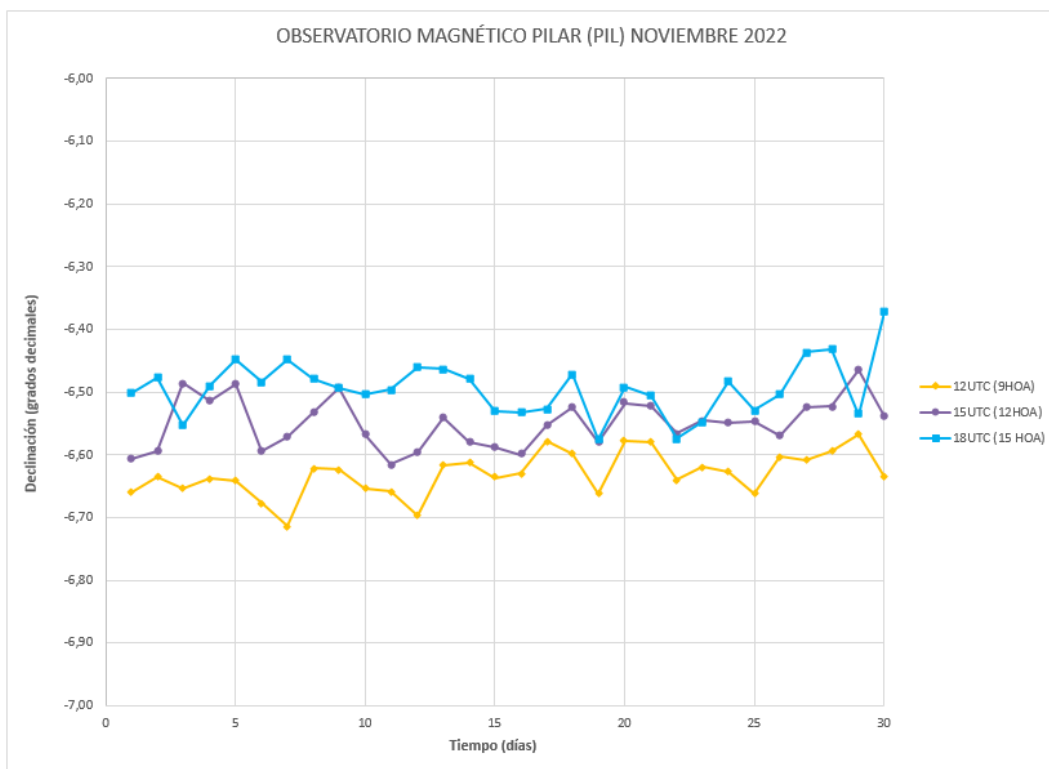


Figura 5: Declinación magnética en función del tiempo

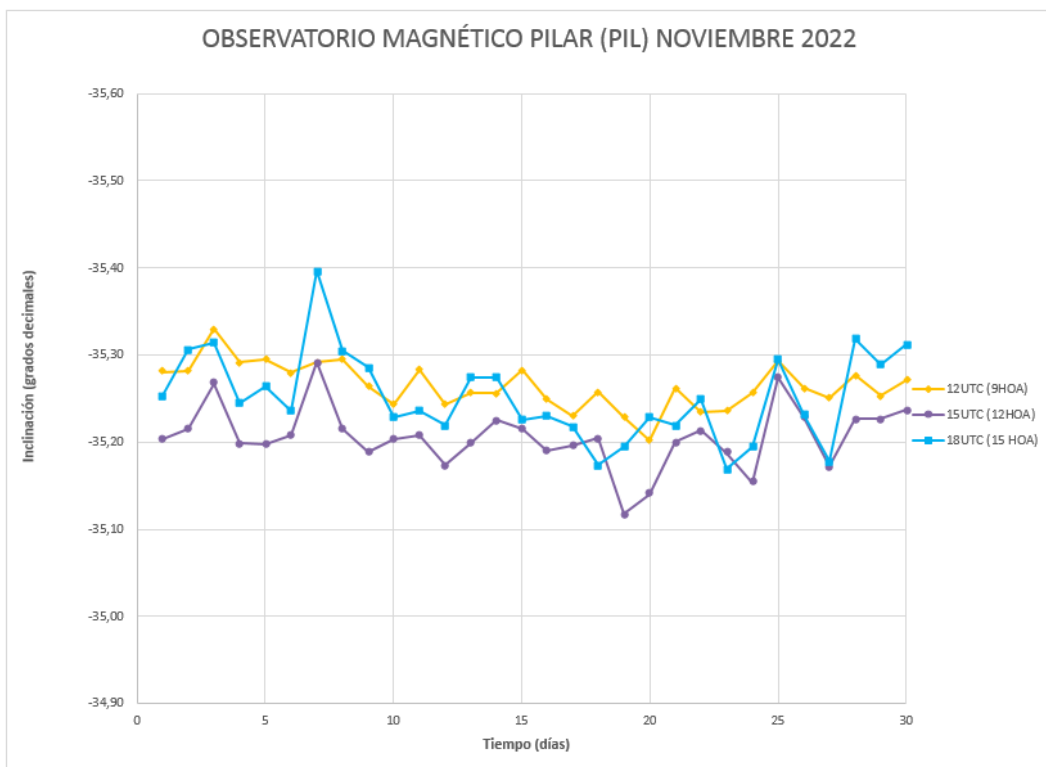


Figura 6: Inclinación magnética en función del tiempo

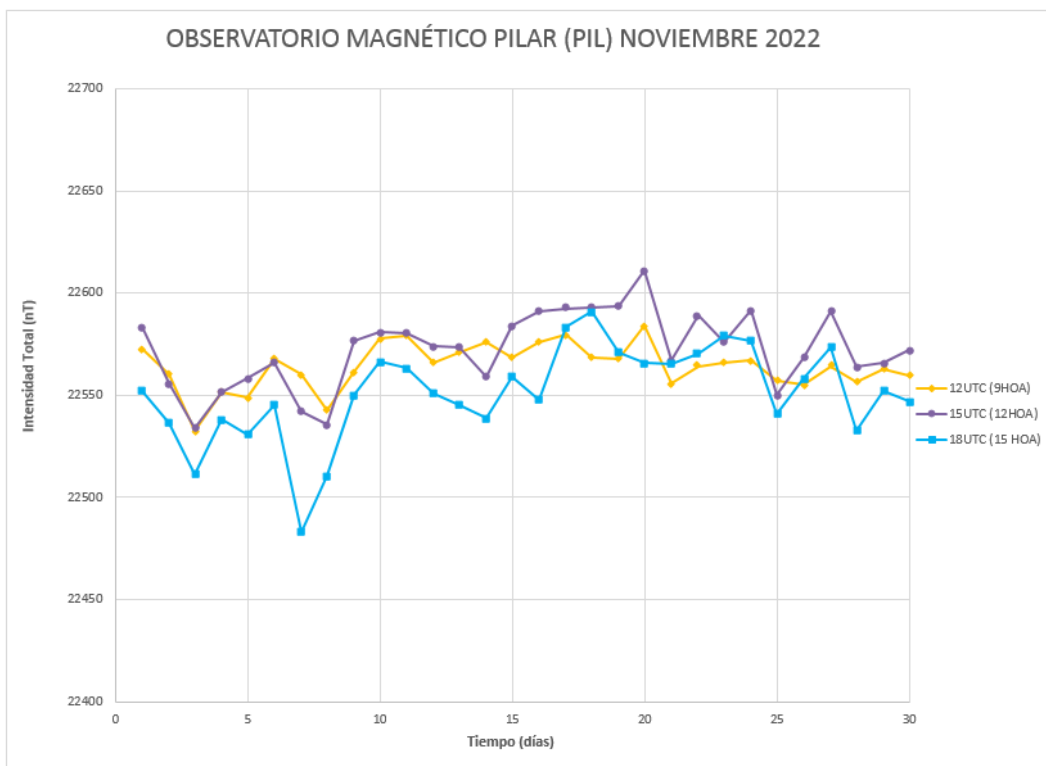


Figura 7: Intensidad total del campo magnético en función del tiempo

## VARIACIÓN DIURNA CALMA Y PERTURBADA

El campo geomagnético es cambiante en escalas desde los milisegundos a millones de años. Las escalas temporales más reducidas vienen dadas a partir de los flujos en la ionósfera y la magnetosfera; alguno de estos cambios puede corresponder a tormentas geomagnéticas o variaciones diarias en las corrientes. Las variaciones que tienen origen externo pueden clasificarse en regulares e irregulares. Las primeras, se asocian al ciclo diario, al lunar y las de período largo con el ciclo solar (cada 11 años). La variación Lunar (L), se debe a la influencia gravitacional que ejerce la luna sobre la ionósfera, sin embargo es considerablemente mayor la influencia del sol. La variación Diurna (Sq), está directamente relacionada con la incidencia de la radiación solar en la ionósfera, donde el gas atmosférico que lo constituye, se encuentra parcialmente ionizado, razón por la que el horario de nocturnidad es siempre más tranquilo y menos perturbado. El movimiento y la interacción de este flujo de iones crean un sistema de corrientes eléctricas, el cual se detecta en la superficie de la Tierra como una variación suave en las componentes del campo magnético. Por su parte, las variaciones irregulares son consecuencia de un proceso dinámico de interacción entre plasma (viento solar), compuesto de partículas cargadas (protones y electrones) con el campo magnético de la Tierra.

La Asociación Internacional de Geomagnetismo y Aeronomía (IAGA) clasifica mensualmente los días más calmos o Q days (Quiet Days) y los días más perturbados del mes o D Days (Disturbed Days) basándose en el Índice de perturbación geomagnética K. Es muy difícil establecer con certeza la perturbación presente aún en días aparentemente calmos. Es sabido que la clasificación de la IAGA es relativa, porque incluso en días de calma excepcional se pueden encontrar perturbaciones residuales que causan cierta variación, sin embargo, esta clasificación brinda una aproximación.

Para conocer la variación diaria calma del mes, consideramos los cinco días más calmos (Q1 a Q5) publicados por la IAGA. Mientras que, para conocer la variación perturbada del mes, basta con considerar al día más perturbado del mes (D1), dado también por la IAGA.

Los cinco días más calmos para este mes fueron el 10, 17, 15, 22 y 6, y el más perturbado, el 3.

En la siguiente tabla, se presentan los cinco días más calmos del mes, el día más perturbado y sus respectivos valores del Nivel de Referencia Nocturno (NRN) el cual, no es más que el promedio de F entre las 03:00 y 06:59 UTC (00 a 03:59 HOA), horario de menor perturbación.

	Quietest Days					Most Disturbed Days
	Q1	Q2	Q3	Q4	Q5	D1
Día	<b>10</b>	<b>17</b>	<b>15</b>	<b>22</b>	<b>6</b>	<b>3</b>
NRN	22544	22556,7	22554,6	22551,6	22541,8	22535,7

A continuación se presentan los gráficos que llamaremos de variación diaria calma (VDQ) y de variación diaria perturbada (VDD) del mes a partir de los datos provisionales, por lo que son una aproximación de la variación mensual del Campo Magnético dada por las variaciones de las corrientes eléctricas que ocurren durante el día.

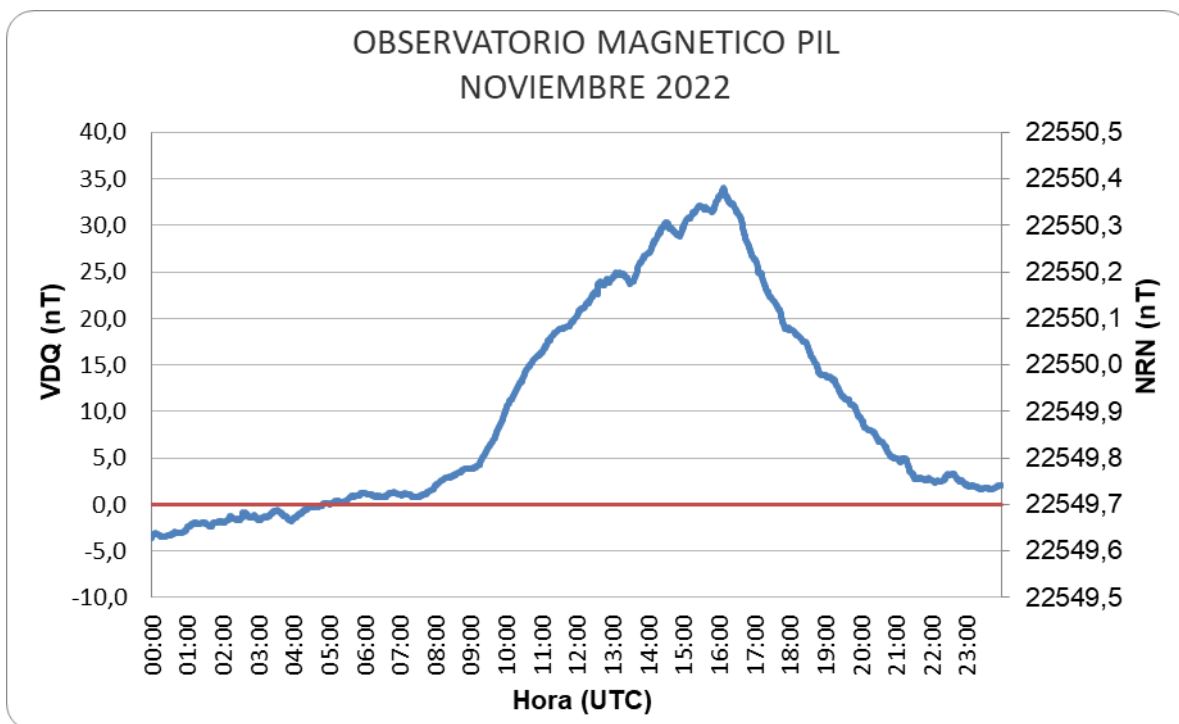


Figura 8: Variación Diaria Calma del mes de noviembre

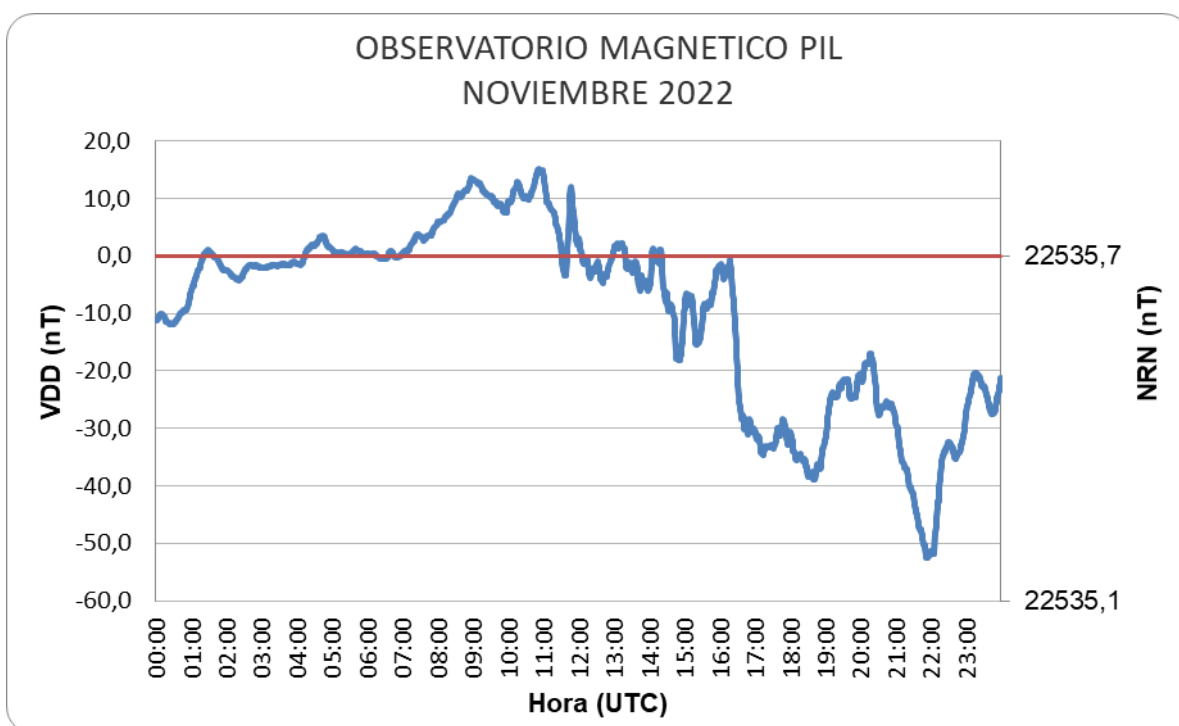


Figura 9: Variación Diaria Perturbada del mes de noviembre

## COMENTARIOS FINALES

Durante el mes de noviembre se pudieron observar grandes manifestaciones del campo magnético como lo fueron las tormentas de los días 03/11, de clase G1 ( $kp=5$ ), y 07/11, como consecuencia de llamarada solar de clase M5. Ambas tormentas se pueden observar en la figura 4a. A mediados de mes, si bien la actividad en el campo fue tranquila, los trabajadores del cerco perimetral del observatorio culminaron las actividades cercanas a las casillas de geomagnetismo, en lo que se pudieron visualizar en algunos días puntuales estos movimientos que perjudicaron a la sensibilidad del instrumental. Por último, a finales del mes de noviembre, se produjo una importante actividad solar que se vio plasmada el día 30, cuando la Tierra se encontró dentro de una corriente de viento solar que provocó una tormenta geomagnética de clase G1 ( $kp=5$ ), la cual se puede observar en la figura 4c.

En concordancia con lo antedicho, las curva de variación perturbada fue calculada para el día de la tormenta G1 del día 3, donde se puede apreciar una curva muy serruchada en todo el día y con una amplitud cercana a los 80 nT. En cambio, la curva calma del mes se muestra suave y con una amplitud de la mitad de tamaño que la anterior.

Las condiciones del viento solar (velocidad, densidad de protones, temperatura) durante el mes de noviembre pueden verse en el siguiente link:

<https://www.ngdc.noaa.gov/dscovr/portal/#/vis/summary/1m/16427340000000>

Los boletines de meses anteriores pueden visualizarse en:

<http://repositorio.smn.gob.ar/>

Para mayor información sobre lo abordado, consultar el Anexo de conceptos teóricos que se muestra a continuación, al finalizar el boletín mensual.

**ANEXO: CAMPO MAGNETICO TERRESTRE. CONCEPTOS TEORICOS.**

El **campo magnético** terrestre se parece al campo de una larga barra magnética o al de una esfera uniformemente magnetizada. El origen de este campo no es bien conocido, pero se cree que es debido a las corrientes conectivas en un núcleo fluido conductor. En la superficie de la Tierra, el polo de la barra magnética equivalente, más cerca del Polo Norte Geográfico es el Polo Sur Magnético. Esta situación paradójica se da por la convención que define como Norte Magnético al extremo de una aguja imantada que apunta al Norte Geográfico. Entonces por la ley de atracción-repulsión de polos magnéticos, el Norte Geográfico debe necesariamente ser un polo sur magnético. Para evitar confusiones, el polo magnético cercano al Norte Geográfico es y será referido como Polo Norte Magnético, aunque será de intensidad negativa.

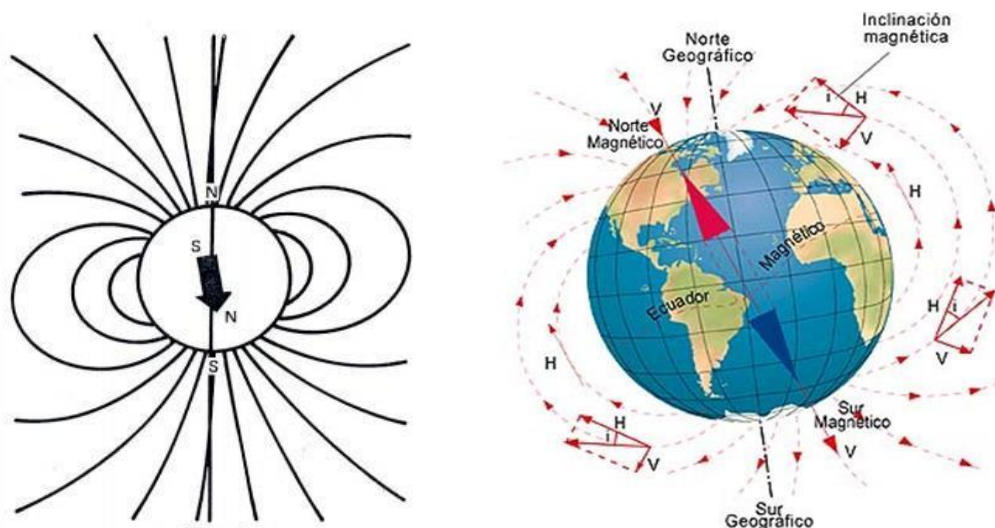


Fig 1

El campo o las líneas de flujo, siguen la trayectoria que muestra la Figura 1. Nótese que la dirección del campo es vertical en los polos magnéticos, y horizontal en el ecuador magnético. El entendimiento de esta geometría es importante para la interpretación de las anomalías magnéticas. La intensidad del campo, es una función de la cantidad de líneas por unidad de área. La intensidad en la región polar es aproximadamente el doble que en la ecuatorial, oscilando entre los 60.000 y 30.000 gammas o nanoteslas (nT). El Gauss es la unidad de la Inducción Magnética (B) y el Oersted de la Intensidad de Campo (H) en la nomenclatura física. Sin embargo, por convención en geofísica, el Gauss es la unidad de la intensidad magnética de campo en el sistema C.G.S. Numéricamente vale lo siguiente:

$$1\text{gamma} = 10^{-9} \text{ Tesla} = 1 \text{ nanoTesla} = 10^{-5}\text{Gauss} = 10^{-5}\text{Oersted} = 10^{-9}\text{weber/m}^2$$

La intensidad del campo total de la Tierra no es perfectamente simétrica alrededor del polo geográfico. Además, el campo de la Tierra no puede ser representado exactamente como el de una simple barra magnética, puesto que en realidad hay numerosos polos de variación local o anomalías, debidas a desconocidas características del mecanismo generador del campo. También, el viento solar o flujo constante de partículas y corrientes eléctricas que llegan desde el sol, distorsionan las líneas de campo.

La anomalía más relevante, es la que se manifiesta en el núcleo de la Tierra y se registra en la superficie (Figura 2), pero también se encuentran anomalías en la corteza terrestre por las variaciones locales producidas fundamentalmente por los minerales magnéticos.

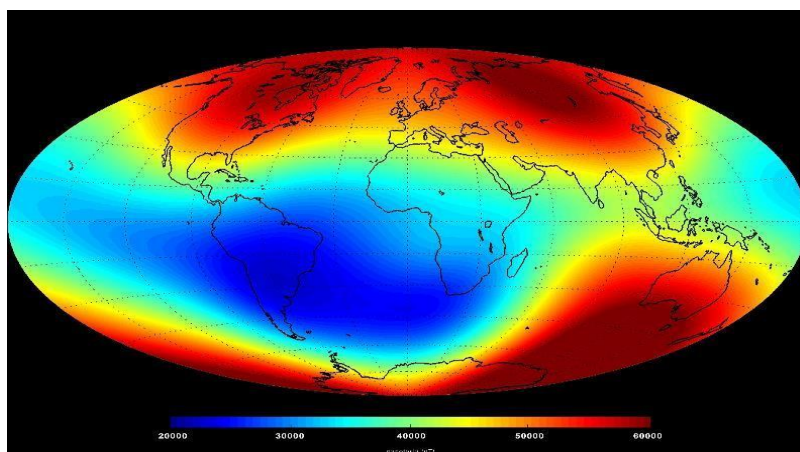


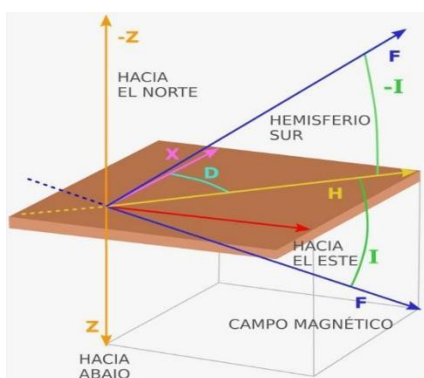
Fig. 2

### Variaciones en el tiempo

Todas las variaciones descritas anteriormente se refieren a las *variaciones espaciales* del campo magnético terrestre, pero también existen las variaciones en el tiempo. Las más pequeñas, que van desde períodos de segundos, minutos y hasta horas, son el efecto directo o indirecto del viento solar y que distorsionan la magnetósfera o campo magnético externo de la Tierra. Las *variaciones diarias o diurnas* son notadas principalmente durante las horas de luz del día local. Estas variaciones no son predecibles, pueden significar cambios de hasta 100 gammas, y a menudo se las elimina de las mediciones. Superpuestas a estas variaciones diurnas, hay fenómenos de corto período llamado micropulsaciones que son más casuales en su comportamiento, generalmente más pequeñas en amplitud, y ocurren a cualquier hora, tanto del día como de la noche. Estas micropulsaciones ocurren en un rango de períodos desde los 0.01 segundos hasta varias decenas de minutos, con amplitudes de milésimos a decenas de gamma.

La variación de mayor importancia, fundamentalmente por ser una gran fuente de errores en las mediciones, son las tormentas magnéticas, que ocurren con una frecuencia de varias veces al mes, con un comienzo repentino y simultáneo en todo el mundo. Tales tormentas pueden exhibir variaciones de hasta varios cientos de gammas, y pueden durar desde uno hasta varios días. El campo interno o principal también cambia lentamente con los años, decenas y cientos de años, lo que ha venido a llamarse *variación secular*. La inclinación, intensidad y aún la ubicación de los polos magnéticos varían también, pero esto es solo de interés de los Observatorios.

### Componentes Magnéticas



**D**, Declinación Magnética es la diferencia entre el norte geográfico y el norte magnético (el indicado por una brújula). En un punto dado de la Tierra, es el ángulo comprendido entre el norte magnético local y el norte geográfico.

**F**, es la intensidad magnética y es un vector. Su módulo está compuesto por la suma de las componentes cartesianas (X (N-S), Y (E-W), Z (Vertical)). X e Y están en el plano horizontal de N-S y E-O, respectivamente. Z en el plano vertical que será negativo hacia el Sur.

**H**, es la componente horizontal de **F**, en su proyección.

**I** es la Inclinação Magnética, es el ángulo medido sobre el plano vertical que contiene a **F** y **H**. Siendo negativo hacia el Sur.

**Instrumentos**

● Magnetómetro Protónico:

El magnetómetro de precesión protónica (ppm) es así llamado porque utiliza la precesión de los spines protónicos, o núcleo del átomo de hidrógeno en el caso de un hidrocarburo o agua, para medir la intensidad total del campo magnético terrestre. Los spines protónicos del agua, kerosén, alcohol, etc., se comportan como pequeños dipolos magnéticos. Estos dipolos son temporalmente alineados y polarizados mediante la aplicación de un campo magnético uniforme generado por una corriente en una bobina. Cuando se corta la corriente, el spin de los protones hace que estos precisen alrededor de la dirección del campo magnético de la Tierra. La precesión protónica genera entonces una pequeña señal en la misma bobina usada para la polarización, señal cuya frecuencia es proporcional a la intensidad del campo total e independiente de la dirección de la bobina. **Figura 3** La constante de proporcionalidad es la conocida constante atómica o razón giromagnética del protón. La frecuencia de precesión, típicamente de 2.000 Hz para un campo terrestre de aproximadamente 50.000 gammas (nanoTeslas), se mide con un moderno contador digital, en valor absoluto de la intensidad de campo total y con una precisión de hasta 0,1 gamma (0,1 nT).



*Limitaciones del magnetómetro protónico*

El magnetómetro protónico no tiene partes móviles, tiene alta resolución en las mediciones y permite visualizar en forma digital las mediciones. Existen varias restricciones operacionales que pueden ser de interés bajo condiciones especiales de campo:

- 1) La señal de precesión protónica disminuye bruscamente en presencia de un fuerte gradiente de campo magnético (mayor de 600 gammas por metro).
- 2) La amplitud de la señal del sensor es del orden de los microvoltios y debe ser medida con una precisión de 0,04 Hz. Esta pequeña señal puede resultar difícil de medir en cercanía de corrientes eléctricas alternas. Por estas razones un magnetómetro protónico no puede operar próximo a edificios.

● Magnetómetro triaxial fluxgate:

Este tipo de magnetómetros permite el registro simultáneo de las tres componentes, declinación (D), las componentes, horizontal (H) y vertical (Z) del campo magnético de la Tierra. Las componentes del campo magnético se muestran cada 5 segundos y cada minuto con una resolución de 0,1 nT.

Un magnetómetro de saturación es un magnetómetro vector, lo que significa que mide no sólo la magnitud sino también la dirección del campo magnético de la Tierra. El dispositivo consta de dos núcleos ferromagnéticos rodeados por dos bobinas de





alambre. Cuando el magnetómetro está activo, la corriente alterna pasa a través de una de las bobinas, conocida como la “bobina”, creando campos magnéticos inducidos de diferentes intensidades. Los cambios en los campos magnéticos generan una corriente eléctrica en la segunda bobina, conocida como la “bobina de detección”, que a continuación se puede medir.

La exposición a variaciones en el campo magnético de la Tierra provoca variaciones en los campos magnéticos de los núcleos, lo que conduce a cambios en la corriente en la bobina de detección. Esencialmente, el sensor de un magnetómetro de saturación consiste en un núcleo de un material ferromagnético de alta permeabilidad magnética, rodeado por un arrollamiento receptor. El campo magnético terrestre a lo largo del eje del núcleo produce en éste un flujo magnético.

Si se hace variar la permeabilidad del núcleo, variará su flujo, como consecuencia se inducirá un voltaje en el arrollamiento receptor que proporciona unas medidas del campo externo. El funcionamiento del magnetómetro está, por tanto, basado en la variación con el tiempo de la permeabilidad del núcleo. (Figura 4)

● Teodolito

El teodolito convencional es el instrumento utilizado para determinar posiciones midiendo dos ángulos, uno horizontal (azimut) y otro vertical (altura). Éste está construido en material antimagnético y por tanto se podría utilizar para medir la declinación, acoplándole una aguja magnética. De esta manera se obtendría valores absolutos de la Declinación e Inclinación magnética en un determinado espacio y tiempo. (Figura 5)



Fig. 5

**DESCRIPCIÓN SISTEMA INDIGO**

Este sistema proporciona el hardware y el software para operar un Observatorio Magnético Digital básico. El hardware consiste en un magnetómetro triaxial fluxgate (Fig 4), un magnetómetro protónico, un Digitizador (Fig 6), un receptor GPS para proporcionar un tiempo exacto, un registrador de memoria USB y una fuente de alimentación DC alimentada por batería.

El software INDIGO WATCH (Fig 7) captura los datos del magnetómetro digitalizado, registra en el disco y realiza el análisis de datos básicos. Los datos se registran cada 5 segundos del fluxgate y ppm, los mismos pueden ser monitoreados y almacenados en archivos diarios individuales usando el software INDIGO WATCH montado en cualquier PC. Se generan valores medios de las componentes medidas cada 1 minuto los cuales se registran en el USB Logger (Fig. 6).

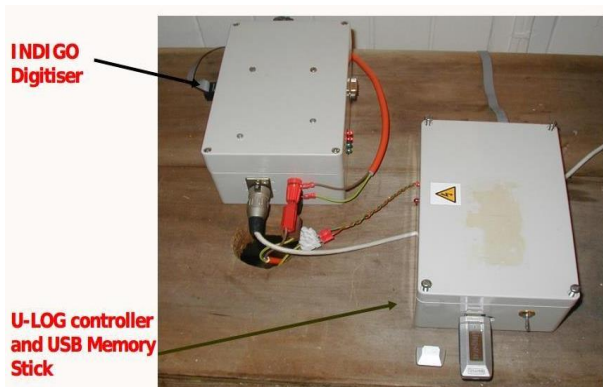


Fig. 6



Fig. 7

### OBSERVATORIO MAGNÉTICO OPERATIVO

El Observatorio opera con Geomagnetic Data Acquisition System (GDAS) (Fig 8), el mismo fue desarrollado por la British Geological Survey (BGS). El INDIGO Watch registra las variaciones de las componentes del campo magnético, pero no los valores absolutos. El operador supervisa estas variaciones. Diariamente se realiza más de una observación absolutas por Operador. Éstas son mediciones con el Teodolito Magnético que porta un sensor Fluxgate en la parte superior del mismo. Con él se obtienen datos de Declinación e Inclinación. Las observaciones absolutas conjuntamente con los datos obtenidos por el Sistema Indigo, se procesan en el software (GDAS), y producen un registro continuo de los **valores absolutos del campo magnético** (Fig. 8).

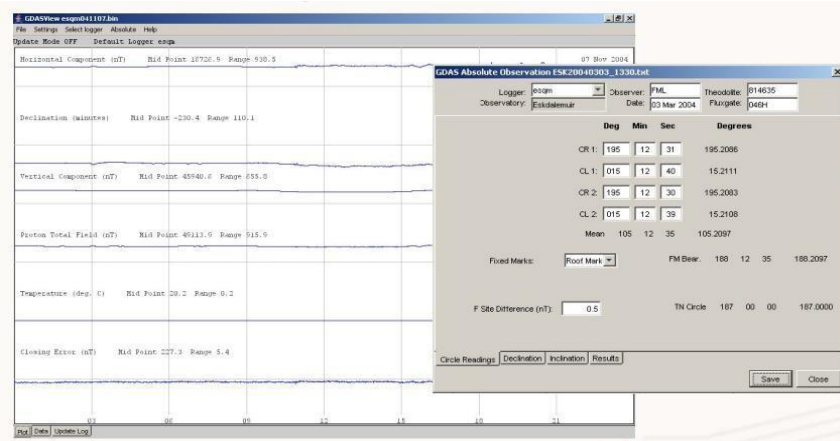


Fig. 8

### INTERMAGNET

INTERMAGNET es una red mundial de Observatorios Magnéticos que operan casi en tiempo real. El objetivo de INTERMAGNET es establecer una red global de Observatorios Magnéticos digitales que cooperen, adoptando modernas especificaciones estándar para equipos de medición y registro, con el fin de facilitar el intercambio de datos y la elaboración de productos geomagnéticos en tiempo real.

Existen varios nodos de información geomagnética (GINs) que son utilizados por todos los observatorios del mundo de la red INTERMAGNET para compartir los datos generados por cada uno de ellos. Cada observatorio, como los del SMN, adopta ciertos estándares para las mediciones geomagnéticas y para el monitoreo del equipamiento y transfiere información rápidamente al GINs (Geomagnetic Information Nodes). Esto es posible gracias a los satélites y a las comunicaciones en red. Estos nodos de información geomagnética recogen datos desde su posición en el globo para su difusión a la comunidad en forma oportuna. GINs puede, cuando sea necesario, intercambiar información y también puede difundir productos tal como índices geomagnéticos y modelos de actividad.

En septiembre de 2012, el Observatorio Magnético Pilar fue aceptado como miembro de INTERMAGNET y las mediciones magnéticas generadas con el Sistema INDIGO en el Observatorio de Pilar, son reportadas diariamente a Edimburgo GIN.

La información se puede visualizar en <http://www.intermagnet.org/data-donnee/dataplot-eng.php>

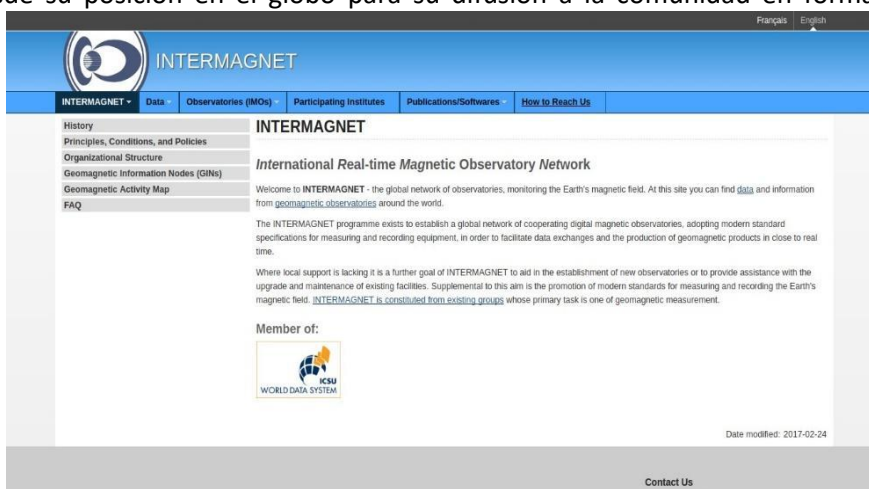


Fig. 9